\blacktriangle Operazioni in $L^2(\Delta)$

· Prodotto scalare

$$\langle \varphi | \psi \rangle = \int_{\Lambda} \varphi^*(x) \psi(x) \, dx = \overline{\langle \psi | \varphi \rangle}$$
 (1)

· Normalizzazione

$$1 = \langle \psi | \psi \rangle = \int_{\Delta} \overline{\psi(x)} \psi(x) \, dx = \int_{\Delta} |\psi(x)|^2 \, dx = ||\psi||^2 \quad (2)$$

· Autoaggiuntezza di un operatore

$$\langle A\psi|\varphi\rangle = \langle \psi|A^{\dagger}\varphi\rangle = \langle \psi|A\varphi\rangle \quad A^{\dagger} = (A^*)^T \quad (AB)^{\dagger} = B^{\dagger}A^{\dagger}$$
(3)

· Norma di un operatore

$$||A|| = \sup_{\psi \in \mathcal{H} \setminus \{0\}} \frac{||A\psi||}{||\psi||} = \sup_{||\psi|| = 1} ||A\psi||$$
 (4)

· Operatore che è funzione di un altro operatore

$$f(A)\psi = f(a)\psi \tag{5}$$

Vale se A è auto
aggiunto e ψ autofunzione

▲ Probabilità e statistica • Probabilità di una misura La probabilità che una misura dell'osservabile A nello stato $|\psi\rangle$ sia $a \in \sigma_d(A)$ è:

$$P_{\psi}(a) = \sum_{r=1}^{a(a)} \frac{|\langle a, r | \psi \rangle|^2}{\|\psi\|^2}$$

$$(6)$$

Mentre che sia $\in [a, a + \epsilon] \subseteq \sigma_c(A)$ è:

$$\int_{a}^{a+\epsilon} \rho_{\psi} \, da \qquad \text{dove} \qquad \rho_{\psi} = \sum_{r=1}^{d(a)} \frac{|\langle a, r | \psi \rangle|^{2}}{\|\psi\|^{2}} \qquad (7)$$

· Probabilità di trovare la particella nell'intervallo

$$\Pr(I) = \frac{\int_{I} |\psi(x)|^2 dx}{||\psi||^2} \quad \text{dove} \quad ||\psi||^2 = \int_{\Delta} |\psi|^2 dx \quad (8)$$

Vale anche per qualsiasi altra rappresentazione di ψ integrando nel corrispondente differenziale (ad esempio probabilità che la particella assuma un intervallo di momenti) Teorema di Plancherel

$$\int_{\mathbb{R}} |\tilde{\psi}(p)|^2 dp = \int_{\mathbb{R}} |\psi(x)|^2 dx \tag{9}$$
di un operatore pello stato $|\psi\rangle$

· Valor medio di un operatore nello stato $|\psi\rangle$

$$\langle A \rangle_{\psi} = \frac{\langle \psi | A | \psi \rangle}{||\psi||^2} = \sum_{a \in \sigma_d(A)} a \cdot P_{\psi}(a) + \int_{\sigma_c(A)} a \cdot \rho_{\psi} \, da$$
(10)

· Fluttuazione di un operatore

$$(\Delta A)_{\hat{a},\psi} = \sqrt{\langle A^2 \rangle_{\psi} - \langle A \rangle_{\psi}^2} \tag{11}$$

▲ Operatore posizione X

$$X\psi(x) = x\psi(x)$$
 $X^2\psi(x) = x^2\psi(x)$ $X^{-1}\psi(x) = \frac{1}{x}\psi(x)$ (12)

▲ Operatore momento P

$$P = -i\hbar \frac{\partial}{\partial x} \quad P^2 = -\hbar^2 \frac{\partial^2}{\partial x^2} \tag{13}$$

Se definito in un compatto [0, L], le autofunzioni sono

$$\psi(x) = C \exp\left(\frac{i\lambda x}{\hbar}\right), \quad \lambda \in \mathbb{Z}$$
 (14)

ove si impone

$$\psi(0) = \psi(L) \tag{15} \label{eq:15}$$
 In particolare, se definito su una circonferenza, allora

(16)

$$\lambda = \frac{1}{R} \tag{16}$$

dove R è il raggio e $n \in \mathbb{Z}$

▲ equazione di Schrödinger in forma stazionaria

$$\left[-\frac{\hbar^2}{2m} \nabla^2 + V \right] \psi(x) = E \psi(x) \tag{17}$$
 \(\text{\textbf{Dalla rappresentazione}} \{x\} \) \(\text{a} \{p\}\) Se si \(\text{è}\) in una

 $\tilde{\psi}(p) = \frac{1}{\sqrt{2\pi\hbar}} \int_{\mathbb{R}} e^{-\frac{ipx}{\hbar}} \psi(x) \, dx \quad \psi(x) = \frac{1}{\sqrt{2\pi\hbar}} \int_{\mathbb{R}} e^{\frac{ipx}{\hbar}} \tilde{\psi}(p) \, dp$

Se si è in tre dimensioni invece tra p e x nell'exp va fatto il prodotto scalare, i differenziali sono in tre dimensioni e $\frac{1}{\sqrt{2\pi\hbar}}$ diventa $\frac{1}{(2\pi\hbar)^{3/2}}$

▲ Indeterminazione di Heisenberg

Espressione generale

$$(\Delta A)_{\psi}(\Delta B)_{\psi} \ge \frac{1}{2} \left| \langle [A, B] \rangle_{\psi} \right| \tag{19}$$

Valida se $\psi, A\psi, B\psi \in D_A \cap D_B$ • Per la posizione e il momento

 $(\Delta X)_{\psi}(\Delta P)_{\psi} \ge \frac{\hbar}{2}$

Che è sempre valida se se si lavora con
$$\mathcal{H} = L_2(\mathbb{R})$$

▲ Proiettori

$$\mathcal{P}^+ = \mathcal{P} \qquad \mathcal{P}^2 = \mathcal{P} \tag{21}$$

Gli autovalori di un proiettore sono 0 e 1· Utilizzo dei proiettori nel caso di spettro discreto Nel

caso di
$$a \in \sigma_d(A)$$
 allora:

 $\mathcal{P}_{a} = \sum_{a}^{d(a)} |a, r\rangle \langle a, r|$

$$\sum_{a \in \sigma_d(A)} \mathcal{P}_a = \sum_{a \in \sigma_d(A)} \sum_{r=1}^{d(a)} |a, r\rangle \langle a, r| = \mathbb{I}$$
 (23)

$$\langle \mathcal{P}_a \rangle_{\psi} = \sum_{r=1}^{d(a)} \frac{|\langle a, r | \psi \rangle|^2}{\|\psi\|^2} = \frac{\|\mathcal{P}_a |\psi\rangle\|^2}{\|\psi\|^2} = P_{\psi}(a)$$
· Utilizzo dei proiettori nel caso di spettro generico

 $\mathcal{H}=\mathcal{H}_s\oplus\mathcal{H}_s^\perp$

$$S \subseteq \mathbb{R} \tag{26}$$

$$\int \frac{d(a)}{\sum_{i=1}^{n}}$$

$$\mathcal{P}_{s} = \sum_{a \in \sigma_{d}(A) \cap S} \sum_{r=1}^{d(a)} |a, r\rangle \langle a, r| + \int_{\sigma_{c}(A) \cap S} \sum_{r=1}^{d(a)} |a, r\rangle \langle a, r| \, \mathrm{d}a$$

$$\langle \mathcal{P}_{s} \rangle_{\psi} \, \mathrm{\grave{e}} \, \mathrm{la} \, \mathrm{Probabilit\grave{a}} \, \mathrm{che} \, \mathrm{una} \, \mathrm{misura} \, \mathrm{di} \, \mathrm{A} \, \mathrm{nello} \, \mathrm{stato} \, \psi \, \mathrm{dia}$$

$$(27)$$

 $a \in S$ **Teoria della misura** Lo stato prima della misura può essere

 $|\psi\rangle = \mathcal{P}_a |\psi\rangle + (\mathbb{I} - \mathcal{P}_a) |\psi\rangle$ (28)

 $|\psi\rangle = \mathcal{P}_a |\psi\rangle$

sono equivalenti le seguenti affermazioni:

(29)

(34)

 \mathcal{A} e \mathcal{B} sono compatibili (30) \exists una base o.n. $\{|a,b,r\rangle\}$ $a \in \sigma(A)$

base o.n.
$$\{|a,b,r\rangle\}$$
 $a \in \sigma(A)$
 $b \in \sigma(B)$
(31)

Vale dunque
$$A |a,b,r\rangle = a |a,b,r\rangle$$
 e $B |a,b,r\rangle = b |a,b,r\rangle$

[A, B] = 0Inoltre valgono le seguenti due relazioni:

$$[A,B] = 0 \implies [\mathcal{P}_a, \mathcal{P}_b] = 0 \ \forall a,b \iff [f(A), g(B)] = 0$$
(33)

$$[A, B] = 0 \implies \forall b \in \sigma(B) \begin{cases} \forall |b\rangle \in \mathcal{H}_b, A |b\rangle \in \mathcal{H}_b \\ [A, \mathcal{P}_b] = 0 \end{cases}$$

· ICOC Si tratta di un insieme completo di osservabili compatibili, si può indicare con \vec{A} .

$$\vec{A} \text{ ICOC} \iff d(\vec{a}) = 1 \ \forall \vec{a} \in \sigma_{\vec{A}}$$
 (35)

La base o.n. di un ICOC sarà $\{|\vec{a}\rangle\}_{\vec{a} \in \sigma(\vec{A})}$ ▲ Quantizzazione canonica

$$=\frac{1}{i\hbar}\left[\,,\,\right]\tag{36}$$

■ Evoluzione temporale causale

▲ Equazione di Schrödinger in forma temporale

$$i\hbar \frac{\partial}{\partial t} \psi(t) = H\psi(t) \tag{37}$$

Dove $i\hbar \frac{\partial}{\partial t}$ è l'espressione dell'operatore Energia. Una combinazione lineare di soluzioni è ancora una soluzione. Per ogni dato iniziale $|\psi(0)\rangle$ si avrà un'unica soluzione $\forall t$. Infine $\|\psi(t)\|$ si conserva nel tempo. Inoltre ψ^* è soluzione dell'equazione

$$-i\hbar \frac{\partial}{\partial t} \psi^*(t) = H\psi^*(t) \tag{38}$$

▲ Equazione di continuità

$$\frac{d}{dt}\rho(\vec{x},t) + \vec{\nabla} \cdot \vec{J}(\vec{x},t) = 0$$
 (39)

$$\rho(\vec{x},t) = |\psi(\vec{x},t)|^2 \tag{40}$$

è la densità di probabilità, mentre

$$\vec{J}(\vec{x},t) = -\frac{i\hbar}{2m} \left(\psi^* \vec{\nabla} \psi - \psi \vec{\nabla} \psi^* \right)$$
 è la densità di corrente di probabilità. (41)

In una dimensione e senza dipendenza temporale essa

 $\frac{d}{dx}\left(\psi'\psi^* - (\psi^*)'\psi\right) = 0$

▲ Operatore di evoluzione causale

$$U^{-1}(t,t_0) = U^+(t,t_0) = U(t_0,t)$$
(43)

In un sistema conservativo, in cui cioè l'hamiltoniana resta invariata nel tempo, si ha

$$U(t) = \exp\left(-i\frac{t}{\hbar}H\right) \tag{44}$$

▲ Visuale di Schroedinger

$$|\psi(t)\rangle=U(t)|\psi(t_0)\rangle \tag{45}$$
 Sia $|E_n,r\rangle$ l'autoket dell'autovalore E_n , allora, per quanto

riguarda la parte di spettro discreto

$$|\psi(t)\rangle = \sum_{n} \sum_{r=1}^{d(E_n)} \exp\left(-\frac{i}{\hbar} E_n(t - t_0)\right) \langle E_n, r | \psi(t_0) \rangle |E_n, r\rangle$$
(46)

Se poi c'è anche una parte continua di spettro si aggiunge

$$\int_{\sigma_c(H)} d\mathbf{E} \sum_{r=1}^{d(E)} \exp\left(-\frac{i}{\hbar} E(t-t_0)\right) \langle E, r | \psi(t_0) \rangle | E, r \rangle \quad (47)$$
Stati stazionari Un autostato dell'hamiltoniana, $|\psi_E\rangle$ viene

chiamato stato stazionario ed evolve in questo modo:

$$|\psi_E(t)\rangle = \exp\left(-\frac{i}{\hbar}E(t-t_0)\right)|\psi_E(t_0)\rangle$$
 (48) il valor medio e la varianza di un operatore calcolati su uno

$$\frac{d}{dt}\langle A\rangle_{\psi_E} = 0, \qquad \frac{d}{dt}(\Delta A)_{\psi_E}^2 = 0 \quad \forall A$$
 (49)
Operatori In visuale di Schroedinger gli operatori

 $A \rightarrow A$ (50)

 $\frac{d}{dt}X_h(t) = \frac{[X_h(t), H]}{i\hbar} + \left(\frac{\partial A}{\partial t}\right). (t)$ (51)dove l'ultimo termine è presente solo se A dipende

Trasformazione unitaria In visuale di Heisenberg, la trasformazione unitaria $U(t,t_0)$ trasforma l'operatore A_s (operatore A in visuale di Schroedinger) come:

$$A \to A_h = U^{\dagger}(t, t_0) A_s U(t, t_0) \tag{52}$$

mentre gli stati rimangono invariati:

$$\psi \to \psi \tag{53}$$
 In particolare $|\psi\rangle$ in visuale di Heisenberg sarà uguale al ket

in visuale di Schroedinger all'istante iniziale: (54) $|\psi_h(t)\rangle = |\psi_h(t_0)\rangle = |\psi_s(t_0)\rangle$

Valori medi di operatori In visuale di Heisenberg e di

Schroedinger i valori medi degli operatori coincidono:
$$\langle A_s \rangle = \langle A_h \rangle \tag{55}$$

Inoltre

(20)

$$\frac{d}{dt}\langle A_h \rangle_{\psi}(t) = \frac{\langle \psi_h | \frac{d}{dt} A_h | \psi_h \rangle}{\|\psi_h\|^2}$$
(56)

 $\frac{d}{dt}A_h = 0 \implies \frac{d}{dt}\langle A_h \rangle = 0$ (57)

▲ Teorema di Ehrenfest

$$\frac{d}{dt}\langle Q\rangle_{\psi} = \frac{\langle P\rangle_{\psi}}{m} \qquad \frac{d}{dt}\langle P\rangle_{\psi} = -\langle V'(Q)\rangle_{\psi} \qquad (58)$$

▲ Indeterminazione tempo energia $(\Delta t)_{\psi}(\Delta E)_{\psi} \gtrsim \frac{h}{2}$

(59)

(66)

$$\rho_{\psi} = \frac{|\psi\rangle \langle \psi|}{\|\psi\|^2}$$

$$\rho_{nm} = \langle n|\rho|m\rangle = \langle n|\psi\rangle \langle \psi|m\rangle = C_n C_m^*$$
(60)

 ρ , per uno stato puro, è un proiettore per cui valgono le proprietà dei proiettori. Inoltre per uno stato puro valgono

 $\sigma(\rho) \ge 0$ $Tr(\rho^2) = 1$ (62)

Dove Tr è la traccia $\langle A \rangle_{\psi} = \text{Tr}(\rho A)$ (63)

Per uno stato misto
$$\epsilon$$
si ha
$$\rho_{\epsilon} = \sum P_k \left| \psi_k \right\rangle \left\langle \psi_k \right| \tag{64}$$

Dove le P_k sono le probabilità associate agli stati puri ψ_k , per cui la loro somma deve essere uguale a 1. Inoltre si ha

 $\langle A \rangle_{\epsilon} = \sum_{k} P_{k} \langle A_{k} \rangle = Tr(\rho_{\epsilon} A)$ (65)

$$\frac{\overline{k}}{k}$$
 Infine per uno stato misto si ha

 $Tr(\rho^{2}) < 1$

Per quanto riguarda l'evoluzione casuale si ha:
$$\rho_s(t) = \sum P_k \left| \psi_k(t) \right\rangle \left\langle \psi_k(t) \right| = U(t,t_0) \rho(t_0) U(t,t_0)^\dagger \quad (67)$$

$$\langle A \rangle(t) = Tr(U\rho(t_0)U^{\dagger}A) = Tr(\rho(t_0)U^{\dagger}AU) = Tr(\rho(t_0)A_h)$$

$$i\hbar \frac{d}{dt}\rho_s(t) = [H_s(t), \rho_s(t)] \tag{69}$$

■ Simmetrie · Teorema di Wigner

 τ è una trasformazione di simmetria $\iff \begin{cases} \psi' = W\psi \\ A' = WAW^{\dagger} \end{cases}$ (70)

Con U operatore unitario o antiunitario ▲ Traslazioni spaziali

Operatore di traslazione

$$U(\varphi) = \exp\left(-i\frac{\varphi}{\hbar}P\right) \tag{7}$$

dove φ è il parametro di traslazione e P è il generatore infinitesimo di traslazione Effetto sull'operatore di posizione e sul momento

$$X' = U(\varphi)XU(\varphi)^{\dagger} = X - \varphi \qquad U(\varphi)^{\dagger}XU(\varphi) = X + \varphi$$

$$U(\varphi)P = P$$
(72)
(73)

· Effetto sulla funzione d'onda $U(\varphi)\psi(x) = \psi(x - \varphi)$

$$\psi(\varphi) = \psi(x - \varphi)$$
 (74)
Traslazioni in 3D Le relazioni sono analoghe a quelle in

1D, semplicemente vanno espresse vettorialmente. Inoltre

$$U(\vec{\varphi}) = \exp\left(-\frac{\imath}{\hbar}\vec{P}\cdot\vec{\varphi}\right) \tag{75}$$

▲ Rotazioni · Operatore di rotazione

$$U(\vec{\varphi}) = \exp\left(-i\frac{\vec{\varphi} \cdot \vec{J}}{\hbar}\right) \tag{76}$$

J è dunque il generatore infinitesimo di rotazione Matrice di rotazione attorno all'asse z

$$R(\varphi, \hat{z}) = \begin{pmatrix} \cos \varphi & -\sin \varphi & 0\\ \sin \varphi & \cos \varphi & 0\\ 0 & 0 & 1 \end{pmatrix}$$
 (77)

· Effetto sulle coordinate e momento $X' = U^{\dagger}XU = R^{-1}(\vec{\varphi})X$ $P' = U^{\dagger}PU = R^{-1}(\vec{\varphi})P$

 $[W, H] = 0 \iff WHW^{\dagger} = H \iff [W, U(t - t_0)] = 0$

dove
$$U(t-t_0)$$
 in questo caso è l'operatore di evoluzione causale. Da questa relazione si ricava banalmente la validità della seguente relazione:

se H non dipende dal tempo

▲ Operatore parità

generico operatore A è

Gruppo a un parametro di simmetrie della dinamica

 $\langle H \rangle_{\psi(t)} = 0 \quad \forall |\psi(t)\rangle$

$$W(\varphi) = \exp\left(-\frac{\iota}{\hbar}Q\varphi\right)$$
 (81)
con $W(s) \in G_d$ (gruppo di simmetrie della dinamica) e Q
generatore infinitesimo della simmetria, si ha

E ciò se e solo se Q è una costante del moto. Si noti inoltre che non si conserva solo il valor medio di Q ma anche tutte

le probabilità associate agli autovalori di Q, per via della

 $[W(s), H] = 0 \iff [Q, H] = 0 \iff \frac{d}{dt} \langle Q \rangle_{\psi}(t) = 0 \quad \forall \psi \in \mathcal{H}$

Esempio con Hamiltoniana in una dimensione Ad esempio per un oscillatore armonico in direzione x, come nel caso della (115), siccome P_u e P_z commutano con H, i loro valori medi non varieranno nel tempo. Il valor medio di P_x invece non varierà nel tempo, in generale, solo se calcolato su uno stato stazionario di H (si veda la (49))

Simmetrie della dinamica e autostati dell'energia W mescola autostati di H con la stessa energia, per cui essa è una matrice a blocchi. Si ha $[W, H] = 0 \iff \forall |E\rangle \in \mathcal{H}_E, W |E\rangle \in \mathcal{H}_E$

dove \mathcal{H}_E è l'autospazio dell'hamiltoniano relativo all'autovalore E, e inoltre $\hat{H}|E\rangle = E|E\rangle$

azione dell'operatore parità sulla funzione d'onda

 $P\psi(x) = \psi(-x)$

- Spettro e autofunzioni Lo spettro è
$$\sigma(P) = \{\pm 1\} \eqno(85)$$

 $\int P\psi(x) = \psi(x)$ se $\psi(x)$ è pari $P\psi(x) = -\dot{\psi}(x)$ se dispari

· Trasformato per parità Il trasformato per parità di un

e la degenerazione degli autovalori è infinita.

$$PAP^{\dagger}$$
 (87)

Nel caso dell'oscillatore armonico, per gli operatori di

$$PaP^{\dagger}=-a$$
 $Pa^{\dagger}P^{\dagger}=-a^{\dagger}$ (88)
E per gli operatori posizione e momento:

 $P\vec{X}P^{\dagger} = -\vec{X}$ $P\vec{P}P^{\dagger} = -\vec{P}$ $P\vec{L}P^{\dagger} = \vec{L}$ · Attenzione alla parità La parità su una funzione traslata agisce solo sulla variabile indipendente e non sul fattore di

traslazione. Ovvero:

$$Pf(x-2a) = f(-x-2a) \tag{90}$$

Se invece si effettua la trasformazione:

$$f(x-2a) \rightarrow f(-x+2a)$$
 (91)

Si è effettuata una riflessione intorno all'asse x=a. Parità come simmetria della dinamica l'Operatore parità rappresenta una simmetria della dinamica quando commuta con H. Ad esempio se per l'hamiltoniana

$$H = \frac{\vec{P}^2}{2m} + V(\vec{X}) \tag{9}$$

si ha $V(\vec{X}) = V(-\vec{X})$, come nel caso dell'oscillatore armonico, allora le autofunzioni dell'hamiltoniana hanno parità definita. Esse sono anche autofunzioni della parità in quanto H e la parità saranno operatori compatibili. Ĉiò significa inoltre che considerato un generico stato, se questo ad esempio è pari, si può decomporre in autostati pari dell'hamiltoniana. ▲ Inversione temporale Essa manda t in -t · Azione sugli operatori

 $\mathcal{T}\vec{X}\mathcal{T}^{\dagger} = \vec{X}$ $\mathcal{T}\vec{P}\mathcal{T}^{\dagger} = -\vec{P}$

 $\mathcal{T}\psi(x) = \psi^*(x)$

· Azione sulla funzione d'onda

$$\mathcal{T}U(t)\mathcal{T}^{\dagger} = U(-t) \tag{95}$$
 dove $U(t)$ è l'operatore di evoluzione causale.

 $\mathcal{T}|\psi(-t)\rangle = U(t)\mathcal{T}|\psi(0)\rangle \qquad \mathcal{T}\psi(\vec{x},t) = \psi^*(\vec{x},-t) \quad (96)$ ▲ Commutazioni generiche e altre formule

· Commutatori dī base
$$[X_i, P_j] = i\hbar \delta_{ij} \qquad [\vec{X}, \vec{P}] = i\hbar \mathbb{I} \qquad [Q, f(P)] = i\hbar f'(P)$$

$$[A, B] = 0 \implies [f(A), B] = 0 \qquad [A, f(A)] = 0 \qquad (98)$$

· Commutatori con l'operatore di traslazione

· Inversione temporale e evoluzione causale

dove Q è l'operatore di posizione generalizzata $[X, P^2] = 2i\hbar P$ $[X^2, P^2] = 4i\hbar XP + 2\hbar^2$

$$[Q,U(\varphi)] = \varphi \; U(\varphi) \tag{100}$$
 \cdot Formula di Baker-Campbell-Hausdorff

■ Formule utili da Fisica moderna ▲ Particella libera

 $-\frac{\hbar^2}{2m}\frac{d^2}{dx^2}\varphi_E(x) = E\varphi_E(x) \Rightarrow \frac{d^2}{dx^2}\varphi_E(x) + k^2\varphi_E(x) = 0$

 $e^{A}e^{B} = e^{A+B+\frac{1}{2}[A,B]+\frac{1}{12}([A,[A,B]]+[B,[B,A]])} + \dots$

$$k = \sqrt{\frac{2mE}{\hbar^2}} \tag{102}$$

$$\psi_s(x,t) = C_+ e^{i(kx - \omega t)} + C_- e^{-i(kx - \omega t)}$$
 (104)

dove il primo termine è un'onda che va verso dx mentre il secondo è un'onda che va verso sx. Dominio dell'hamiltoniana di una particella libera

$$D(H) = \left\{ \psi(x) \in L^2(\mathbb{R}, dx), \, p^2 \tilde{\psi}(p) \in L^2(\mathbb{R}, dp) \right\} \quad (105)$$

Quando il potenziale è C^{∞} ed è limitato in tutto \mathbb{R} allora il

dominio dell'hamiltoniana del sistema è lo stesso di quella

libera. ▲ Energia e momento quantizzati Per un quanto di energia

$$E = \hbar\omega$$
 $P = \hbar k = \hbar \frac{2\pi}{\lambda} = \frac{\hbar\omega}{c}$ (106)

▲ Buca infinita
 · Buca di potenziale infinitamente profonda, posta in

Equazione agli autovalori
$$-\frac{\hbar^2}{2m}\frac{d^2}{dx^2}\varphi_E(x)=E\varphi_E(x)\Rightarrow \frac{d^2}{dx^2}\varphi_E(x)+k^2\varphi_E(x)=0$$

zioni
$$\varphi_n(x) = \begin{cases} \sqrt{\frac{2}{L}} \cos\left(\frac{n\pi x}{L}\right), & n > 0 \text{ dispari} \\ \sqrt{\frac{2}{a}} \sin\left(\frac{n\pi x}{L}\right), & n > 0 \text{ pari} \end{cases}$$
(108)

 \cdot Autovalori di H

$$E_n = \frac{\hbar^2}{2m} \left(\frac{n\pi}{L}\right)^2 \tag{109}$$

Buca di potenziale infinitamente profonda, posta in [0,L] L'energia rimane la stessa, mentre le autofunzioni sono

$$\varphi_n = \sqrt{\frac{2}{L}} \sin\left(\frac{n\pi x}{L}\right) \, \forall \, n > 0$$
(110)

 $V\Theta(x)$, con $\Theta(x)$ funzione di Heaviside. • Autofunzioni Si pone

$$\chi = \sqrt{\frac{2m(V - E)}{\hbar^2}} \qquad k = \sqrt{\frac{2mE}{\hbar^2}}$$
 (111)
• Con energia minore di \bar{V}

 $\varphi_E(x) = \begin{cases} c_+^1 e^{ikx} + c_-^1 e^{-ikx}, & x < 0\\ c_-^2 e^{-\chi x}, & x \ge 0 \end{cases}$

 \cdot Con energia maggiore di $ar{V}$

$$\begin{cases} c_{+}^{+}e + c_{-}e & , & x < 0 \\ c_{2}^{+}e^{\chi x}, & x \ge 0 \end{cases}$$
 (113)

Oscillatore armonico
Pulsazione

$$H = \frac{P^2}{2m} + \frac{1}{2}m\omega^2 X^2 + V_0 = \hbar\omega \left(a^{\dagger}a + \frac{1}{2}\right) + V_0 \quad (115)$$

 $E_n = \hbar\omega \left(n + \frac{1}{2}\right) + V_0, \quad n \in \mathbb{N} \cup \{0\}$

· Commutazione con la parità

$$[P, H] = 0 (117)$$
· Autofunzioni

$$\psi_0(x) = \left(\frac{m\omega}{\pi\hbar}\right)^{1/4} \exp\left(-\frac{m\omega}{2\hbar}x^2\right)$$

$$\psi_1(x) = \left(\frac{m\omega}{\pi\hbar}\right)^{1/4} \sqrt{\frac{2m\omega}{\hbar}} x \exp\left(-\frac{m\omega}{2\hbar}x^2\right)$$
(118)

$$\psi_2(x) = \frac{1}{\sqrt{8}} \left(\frac{m\omega}{\pi\hbar} \right)^{1/4} \exp\left(-\frac{m\omega}{2\hbar} x^2 \right) \left(4 \frac{m\omega}{\hbar} x^2 - 2 \right)$$
(120)

 $\psi_n(x) = \frac{1}{\sqrt{2^n n!}} \left(\frac{m\omega}{\pi\hbar}\right)^{1/4} \exp\left(-\frac{m\omega x^2}{2\hbar}\right) H_n\left(\sqrt{\frac{m\omega}{\hbar}}x\right)$ Dove $H_n(y)$ sono i polinomi di Hermite:

$$H_n(y) = (-1)^n e^{y^2} \frac{d^n}{dv^n} e^{-y^2}$$
 (122)

$$H_0(y) = 1$$
, $H_1(y) = 2y$, $H_2(y) = 4y - 2$ (12)
• **Proprietà delle autofunzioni** Ortogonalità:

 $\int_{\mathbb{R}} \psi_i(ax)\psi_j(ax) = \frac{\delta_{ij}}{a}$ (125)

 $\langle m|n\rangle = \delta_{mn}$

$$\psi_n(-x) = (-1)^n \psi_n(x) \tag{126}$$

$$\langle X \rangle_{\psi_n} = \langle P \rangle_{\psi_n} = 0 \qquad \langle X^2 \rangle_{\psi_n} = \frac{\hbar}{m_{\text{tot}}} (n + \frac{1}{2}) \tag{127}$$

Le autofunzioni sono a parità definita, ovvero sono pari per

In generale il valor medio di X su domini simmetrici e su stati $|\psi\rangle$ a parità definita è nullo.

 $\langle X \rangle_{\psi} = A \cos(\omega t + \delta) \quad \langle P \rangle_{\psi} = -mA\omega \sin(\omega t + \delta) \quad (129)$ Evoluzione temporale oscillatore armonico $|\psi(t)\rangle$ nel caso dell'oscillatore armonico è periodica con periodo

$$a=\frac{X'+iP'}{\sqrt{2}},\quad a^\dagger=\frac{X'-iP'}{\sqrt{2}}$$
 · Relazioni di commutazione

 \cdot Espressioni per X e P

armonico sono

Operatori definiti

(93)

(94)

(101)

$$(a^{\dagger})^2|n\rangle = \sqrt{(n+1)(n+2)}|n+2\rangle$$

$$aa^{\dagger}|n\rangle = (n+1)|n\rangle, \quad a^{\dagger}a|n\rangle = n|n\rangle$$
 (

(133)

 $X = \sqrt{\frac{\hbar}{2m\omega}}(a+a^{\dagger})$ $P = i\sqrt{\frac{m\hbar\omega}{2}}(a^{\dagger}-a)$

 $a^{\dagger}|n\rangle = \sqrt{n+1}|n+1\rangle$ $a|n\rangle = \sqrt{n}|n-1\rangle$

 $P|n\rangle = (-1)^n|n\rangle = (-1)^N|n\rangle$ (139)

 $a^2|n\rangle = \sqrt{n(n-1)}|n-2\rangle$ (137)

▲ Operatore numero

(135)

 $\psi_n(x) = \frac{(a^{\dagger})^n}{\sqrt{n!}} \psi_0(x) \qquad |n\rangle = \frac{(a^{\dagger})^n}{\sqrt{n!}} |0\rangle$

(136)

(138)

· Relazioni di commutazione

 $N = a^{\dagger}a$ $N |n\rangle = n |n\rangle$ $Na |n\rangle = (n-1)a |n\rangle$ (141)

 $[N, a] = -a, \quad [N, a^{\dagger}] = a^{\dagger}$

Ifinita i potenziale infinitamente profonda, posta
$$-L/2$$
 one agli autovalori

Equazione agli autovalori

$$\frac{2}{a}\sin\left(\frac{nn\omega}{L}\right), \quad n>0 \text{ part}$$

 $\chi = \sqrt{\frac{2m(\bar{V} - E)}{\hbar^2}} \qquad k = \sqrt{\frac{2mE}{\hbar^2}}$

 $\varphi_E(x) = \begin{cases} c_+^1 e^{ikx} + c_-^1 e^{-ikx}, & x < 0 \\ c_2^1 e^{\chi x}, & x \ge 0 \end{cases}$

(112)

(114)

(124)

$$= \left(\frac{\pi\hbar}{\pi\hbar}\right) \sqrt{\frac{\pi}{\hbar}} x \exp\left(-\frac{\pi\omega}{2\hbar}x^2\right) \tag{1}$$

$$= \left(\frac{m\omega}{i}\right)^{1/4} \exp\left(-\frac{m\omega}{i}x^2\right) \left(4\frac{m\omega}{i}x^2 - 2\right) \tag{1}$$

$$H_n(y) = (1)^n e^n dy^n$$

$$H_0(y) = 1, \quad H_1(y) = 2y, \quad H_2(y) = 4y^2 - 2 \qquad (12)$$

$$\langle X \rangle_{\psi_n} = \langle P \rangle_{\psi_n} = 0 \qquad \langle X^2 \rangle_{\psi_n} = \frac{\hbar}{m\omega} (n + \frac{1}{2}) \qquad (127)$$

(131)

■ Momento angolare

 $aa^{\dagger}|n\rangle = (n+1)|n\rangle, \quad a^{\dagger}a|n\rangle = n|n\rangle$

(123)

 $\langle P^2 \rangle_{\psi_n} = \hbar \omega m (n + \frac{1}{2}) \implies \langle \frac{P^2}{2m} \rangle_{\psi_n} = \frac{E_n}{2}$ Ovvero l'energia è equamente divisa, in media, tra parte

 $X' = \sqrt{\frac{m\omega}{\hbar}}X, \quad P' = \frac{1}{\sqrt{m\hbar\omega}}P$

 $[a, a^{\dagger}] = 1$

(140)

(142)

▲ Momento angolare totale Il momento angolare totale è

ngolare orbitale, mentre
$$ec{S}$$
 è lo spin

dove \vec{L} è il momento angolare orbitale, mentre \vec{S} è lo spin

 $J^2 = J_r^2 + J_u^2 + J_z^2$

Formule analoghe per L^2 e S^2 · Autovalori di J^2 e J_z

 $J^2|l,m\rangle = \hbar^2 j(j+1)|j,m\rangle$ $L_z|j,m\rangle = \hbar m|j,m\rangle$ (145)

con $j \in \frac{1}{2} \mathbb{N}$ e $m \in \{-j, -j+1, \dots, +j\}$.

▲ Momento angolare orbitale

$$\vec{L} = \vec{X} \times \vec{P}$$
 $L_k = \sum_{i} \epsilon_{kij} X_i P_j$ (146)

$$L_x = YP_z - ZP_y \quad L_y = ZP_x - XP_z \quad L_z = XP_y - YP_x \tag{147}$$

· Autovalori di L^2 e L_z

$$L^{2}|l,m\rangle = \hbar^{2}l(l+1)|l,m\rangle$$
 $L_{z}|l,m\rangle = \hbar m|l,m\rangle$ (148)

· Espressioni di L^2 , L_x , L_y e L_z

$$L^{2} = -\hbar^{2} \left[\frac{\partial^{2}}{\partial \theta^{2}} + \frac{1}{\tan(\theta)} \frac{\partial}{\partial \theta} + \frac{1}{\sin^{2} \theta} \frac{\partial^{2}}{\partial \varphi^{2}} \right]$$
(149)

$$L_x = i\hbar \left[\sin(\varphi) \frac{\partial}{\partial \theta} + \cos(\varphi) \cot(\theta) \frac{\partial}{\partial \varphi} \right]$$
 (150)

$$L_{y} = i\hbar \left[-\cos(\varphi) \frac{\partial}{\partial \theta} + \sin(\varphi) \cot(\theta) \frac{\partial}{\partial \varphi} \right]$$
 (151)

$$L_z = -i\hbar \frac{\partial}{\partial \varphi} \tag{152}$$

▲ Operatori di abbassamento e innalzamento

$$L_{\pm} = \hbar e^{\pm i\varphi} \left[i \cot \theta \frac{\partial}{\partial \varphi} \pm \frac{\partial}{\partial \theta} \right]$$
 (153)

$$J_{\pm} = J_x \pm iJ_y, \quad J_{-} = (J_{+})^{\dagger} \tag{154}$$

$$J_{\pm}|j,m\rangle = \hbar\sqrt{j(j+1) - m(m\pm 1)}|j,m\pm 1\rangle \tag{155}$$

Nella base $|j,m\rangle$, con m che va in ordine da j a -j, J_z risulta diagonalizzata, J_{\perp} ha valori non nulli solo nella diagonale sopra quella principale, J_{-} ha valori non nulli solo nella diagonale sotto quella principale. Per costruire L_+ , L_x e L_y le formule sono analoghe a queste ma con l al posto di j.

$$J_z J_{\pm} |j,m\rangle = \hbar(m \pm 1) J_{\pm} |j,m\rangle$$

$$J_{+}J_{-} = J^{2} - J_{z} (J_{z} - \hbar)$$
 $J_{-}J_{+} = J^{2} - J_{z} (J_{z} + \hbar)$ (157)

Valgono formule analoghe per L_+ , L_- e S_+ , S_- · Espressione di J_x e J_y

$$J_x = \frac{J_+ + J_-}{2}$$
 $J_y = \frac{J_+ - J_-}{2i}$ (158)

▲ Relazioni di commutazione

$$\varepsilon_{ijk} = \begin{cases} +1 & \text{se } (i,j,k) \text{ è una permutazione pari di } (1,2,3) \\ -1 & \text{se } (i,j,k) \text{ è una permutazione dispari di } (1,2,3) \\ 0 & \text{se due indici sono uguali} \end{cases}$$

$$[J_{i}, L_{j}] = [L_{i}, L_{j}] = i\hbar\epsilon_{ijk}L_{k} \quad [L^{2}, L_{j}] = 0 \quad [J_{i}, J_{j}] = i\hbar\epsilon_{ijk}J_{k}$$

$$(160)$$

$$[L_{i}, X_{j}] = [J_{i}, X_{j}] = i\hbar\epsilon_{ijk}X_{k} \quad [L_{i}, P_{j}] = [J_{i}, P_{j}] = i\hbar\epsilon_{ijk}P_{k}$$

$$(161)$$

$$[J_z,J_\pm]=\pm\hbar J_\pm \qquad [J_+,J_-]=2\hbar J_z \qquad (162)$$

 Autofunzioni simultanee di L^2 e L_z La forma generica è

data da $\psi_l^m = f_l^m(r) Y_l^m(r, \theta, \varphi)$

$$Y_{l}^{m}(\theta,\varphi) = \frac{(-1)^{l}}{2^{l}l!} \sqrt{\frac{(2l+1)}{4\pi} \frac{(l+m)!}{(l-m)!}} e^{im\varphi} P_{l}^{m}(\cos(\theta), \sin(\theta))$$
(164)

vengono dette armoniche sferiche. $P_l^m(\cos(\theta),\sin(\theta))$ è un polinomio in $\cos(\theta)$ e $\sin(\theta)$. In termini di polinomi di Legendre,

$$P_l^m(x) = (-1)^m \frac{(1-x^2)^{m/2}}{2^l l!} \frac{d^{l+m}}{dx^{l+m}} (x^2 - 1)^l$$
 (165)

Le armoniche sferiche sono ortonormali:

$$\int_0^{2\pi} d\varphi \int_0^{\pi} d\theta \sin(\theta) \overline{Y_l^m(\theta, \varphi)} Y_{l'}^{m'}(\theta, \varphi) = \delta_{ll'} \delta_{mm'} \quad (166)$$

dove $\int_0^{2\pi} d\varphi \int_0^{\pi} d\theta \sin(\theta) = \int d\Omega$ Inoltre valgono le seguenti proprietà:

$$Y_l^m(\pi - \theta, \varphi + \pi) = (-1)^l Y_l^m(\theta, \varphi)$$
 (167)

$$\overline{Y_l^m(\theta,\varphi)} = (-1)^m Y_l^{-m}(\theta,\varphi)$$

Per la funzione radiale bisogna imporre la normalizzazione

$$\int_{0}^{+\infty} r^{2} |f_{l}^{m}(r)|^{2} dr = 1$$
 (169)

(168)

- Armoniche sferiche: Primi valori Le armoniche sferiche sono pari se l è pari, dispari altrimenti. • Per $\hat{l} = 0$

$$Y^0(\theta, \phi) = \frac{1}{-1} \tag{170}$$

 $Y_0^0(\theta,\varphi) = \frac{1}{\sqrt{4\pi}}$ (170)

$$Y_0^0(\theta,\varphi) = \frac{1}{\sqrt{4\pi}} \tag{170}$$

· Per l=1

$$Y_1^0(\theta,\varphi) = \sqrt{\frac{3}{4\pi}}\cos\theta = \sqrt{\frac{3}{4\pi}}\frac{z}{r}$$
 (171)

 $Y_1^{\pm 1}(\theta,\varphi) = \mp \sqrt{\frac{3}{8\pi}} \sin \theta e^{\pm i\varphi} = \mp \sqrt{\frac{3}{8\pi}} \frac{x \pm iy}{x}$

$$Y_2^0(\theta,\varphi) = \frac{1}{4}\sqrt{\frac{5}{\pi}}(3\cos^2\theta - 1) = \frac{1}{4}\sqrt{\frac{5}{\pi}}\frac{(2z^2 - x^2 - y^2)}{r^2}$$

$$Y_2^{\pm 1}(\theta, \varphi) = \mp \frac{1}{2} \sqrt{\frac{15}{2\pi}} e^{\pm i\varphi} \sin \theta \cos \theta = -\frac{1}{2} \sqrt{\frac{15}{2\pi}} \frac{z(x \pm iy)}{r^2}$$
(174)

$$Y_2^{\pm 2}(\theta,\varphi) = \frac{1}{4}\sqrt{\frac{15}{2\pi}}e^{\pm 2i\varphi}\sin^2\theta = \frac{1}{4}\sqrt{\frac{15}{2\pi}}\frac{(x\pm iy)^2}{r^2}$$
 (175)

■ Prodotto tensore

$$\lambda |\psi_1\rangle \otimes |\psi_2\rangle = \lambda(|\psi_1\rangle + |\psi_2\rangle) \ \forall \lambda \in \mathbb{C}$$
 (176)

$$|\psi_{1}\rangle \otimes (|\chi_{2}\rangle + |\psi_{2}\rangle) = |\psi_{1}\rangle \otimes |\chi_{2}\rangle + |\psi_{1}\rangle \otimes |\psi_{2}\rangle \qquad (177)$$

$$\{|e_{1,n}\rangle \otimes |e_{2,m}\rangle\}_{\substack{n=1,\dots,d_{1}\\m=1,\dots,d_{2}}} \qquad (178)$$

è una base o.n. di $\mathcal{H} = \mathcal{H}_1 \otimes \mathcal{H}_2$, dove

 $\dim(\mathcal{H}_1 \otimes \mathcal{H}_2) = (\dim \mathcal{H}_1)(\dim \mathcal{H}_2)$

▲ Prodotto scalare

$$\langle \psi | \psi' \rangle = \left(\sum_{n,m} c_{n,m}^* \langle e_{1,n} | \otimes \langle e_{2,m} | \right) \left(\sum_{n',m'} d_{n',m'} | e_{1,n'} \rangle \otimes | e_{2,m'} \rangle \right)$$
(180)

 $= \sum_{n,n',m,m'} c_{n,m}^* d_{n',m'} \delta_{n,n'} \delta_{m,m'} = \sum_{n,m} c_{n,m}^* d_{n,m}$

Tra due vettori fattorizzati si ha $(\langle \psi_1 | \otimes \langle \psi_2 |)(|\chi_1\rangle \otimes |\chi_2\rangle) = \langle \psi_1 | \chi_1 \rangle_{\mathcal{H}_1} \langle \psi_2 | \chi_2 \rangle_{\mathcal{H}_2} \quad (182)$

▲ Norma

$$\|\psi\|^2 = \sum_{n,m} |c_{n,m}|^2 \tag{183}$$

▲ Operatori e prodotto tensore

$$(A_1 \otimes B_2) \left(\sum_{n,m} C_{n,m} |e_{1,n}\rangle \otimes |e_{2,m}\rangle \right) = (184)$$

$$= \sum C_{n,m} \left(A_1 \left| e_{1,n} \right\rangle \right) \otimes \left(B_2 \left| e_{2,m} \right\rangle \right) \tag{185}$$

$$(A_1 \otimes \mathbb{I}_{\mathcal{H}_2})(\mathbb{I}_{\mathcal{H}_1} \otimes B_2) = A_1 \otimes B_2 = (\mathbb{I}_{\mathcal{H}_1} \otimes B_2)(A_1 \otimes \mathbb{I}_{\mathcal{H}_2})$$

$$A_1 \text{ a.a e } \{|a_{1,r}\rangle\}_{\substack{a_1 \in \sigma(A_1) \\ r=1 \ d(a_1)}} \text{ base o.n. di } \mathcal{H}_1$$

$$(186)$$

$$(187) \text{ e } (188) \implies \{|a_{1,r}\rangle \otimes |b_{2,s}\rangle\}_{a_1 \in \sigma(A1), r=1, \dots, d(a1)}$$

(187) e (188)
$$\Longrightarrow$$
 { $|a_{1,r}\rangle \otimes |b_{2,s}\rangle$ } $a_1 \in \sigma(A_1), r=1,...,d(a_1)$
 $b_2 \in \sigma(B_2), s=1,...,d(b_2)$
(189)

è base o.n. di $\mathcal{H} = \mathcal{H}_1 \otimes \mathcal{H}_2$. Dati due autovalori a_1 e b_2 fissati, la degenerazione della coppia su \mathcal{H} sarà

 B_2 a.a e $\{|b_{2,s}\rangle\}$ $b_2 \in \sigma(B_2)$ base o.n. di \mathcal{H}_2

$$d(a_1, b_2) = d(a_1)d(b_2) (190)$$

(188)

(195)

- Hamiltoniana di interazione con \vec{B}

$$H = -\vec{\mu} \cdot \vec{B} \qquad \vec{\mu} = \mu_0 \vec{S} \tag{191}$$

Relazioni di commutazione

$$[S_i, S_j] = i\hbar \epsilon_{ijk} S_k [S_i, X_j] = [S_i, P_j] = [S_i, L_j] = 0 (192)$$

$$[L^2, S^2] = 0 [J^2, S^2] = 0 [J^2, L^2] = 0 [S^2, S_z] = 0 (193)$$

· Spettro di (S^2, S_z)

$$\sigma(S^2; S_z) = \{\hbar^2 s(s+1), \hbar m\}$$
 (194)

con $s \in \frac{1}{2} \mathbb{N}$ e $m \in \{-s, -s+1, \dots, +s\}$.

 \blacktriangle Prodotto $L \cdot S$

$$L \cdot S = \frac{1}{2} \left(J^2 - L^2 - S^2 \right)$$

$$L \cdot S = L_z S_z + \frac{1}{2} (L_+ S_- + L_- S_+)$$
(195)

Operatori di abbassamento e innalzamento Per $S\pm$ vale l'analogo della (155) con s al posto di j, per S_x e S_y vale l'analogo della (158) cutilizzando S_{\pm}

· Matrici di Pauli

$$S = \frac{n}{2}\sigma\tag{197}$$

$$\sigma_x = \begin{pmatrix} 0 & 1 \\ 1 & 0 \end{pmatrix} \quad \sigma_y = \begin{pmatrix} 0 & -i \\ i & 0 \end{pmatrix} \quad \sigma_z = \begin{pmatrix} 1 & 0 \\ 0 & -1 \end{pmatrix} \quad (198)$$
$$\sigma_z |+\rangle = |+\rangle \quad \sigma_z |-\rangle = -|-\rangle \quad (199)$$

$$[\sigma_i, \sigma_j] = 2i\epsilon_{ijk}\sigma_k \qquad {\{\sigma_i, \sigma_j\}} = 2\delta_{ij}$$
 (200)

$$\sigma_i \sigma_j = \frac{1}{2} \left([\sigma_i, \sigma_j] + \{ \sigma_i, \sigma_j \} \right)$$
Composizione di spin di due particelle

$$S^{(1)} \cdot S^{(2)} = \frac{1}{2} \left(S_{+}^{(1)} S_{-}^{(2)} + S_{-}^{(1)} S_{+}^{(2)} \right) + S_{z}^{(1)} S_{z}^{(2)}$$
 (202)
• Spin in direzione \hat{n} Sia \hat{n} il versore in \mathbb{R}^{3} :

$$\hat{n} = (\sin \theta \cos \varphi, \sin \theta \sin \varphi, \cos \theta) \tag{203}$$

$$S \cdot \hat{n} = \frac{\hbar}{2} \sigma \cdot \hat{n} = \frac{\hbar}{2} \begin{pmatrix} \cos \theta & \sin \theta e^{-i\varphi} \\ \sin \theta e^{i\varphi} & -\cos \theta \end{pmatrix}$$

$$\sigma(S_n) = \left\{ -\frac{\hbar}{2}, +\frac{\hbar}{2} \right\}$$
(204)

Gli autostati sono:

$$|+\rangle_{\hat{n}} = \cos\frac{\theta}{2}|+\rangle + \sin\frac{\theta}{2}e^{i\varphi}|-\rangle$$
 (206)

$$|-\rangle_{\hat{n}} = \sin\frac{\theta}{2}|+\rangle - \cos\frac{\theta}{2}e^{i\varphi}|-\rangle$$
 (207)

in forma matriciale gli autostati lungo una generica direzione

$$\left|\frac{\hbar}{2}\right\rangle_{\hat{n}} = \begin{pmatrix} \cos\frac{\theta}{2} \\ \sin\frac{\theta}{2}e^{i\varphi} \end{pmatrix} \qquad \left|-\frac{\hbar}{2}\right\rangle_{\hat{n}} = \begin{pmatrix} \sin\frac{\theta}{2} \\ -\cos\frac{\theta}{2}e^{i\varphi} \end{pmatrix} \quad (208)$$

· Spin in direzione x $|+\rangle_x = \frac{1}{\sqrt{2}}(|+\rangle + |-\rangle) \qquad |-\rangle_x = \frac{1}{\sqrt{2}}(|+\rangle - |-\rangle) \quad (209)$

$$|+\rangle = \frac{1}{\sqrt{2}}(|+\rangle_x - |-\rangle_x) \qquad |-\rangle = \frac{1}{\sqrt{2}}(|+\rangle_x + |-\rangle_x) \quad (210)$$

Spin in direzione
$$y$$

$$|+\rangle_y = \frac{1}{\sqrt{2}}(|+\rangle + i |-\rangle) \quad |-\rangle_y = \frac{1}{\sqrt{2}}(|+\rangle - i |-\rangle) \quad (211)$$

 $|+\rangle = \frac{1}{\sqrt{2}}(|+\rangle_y + |-\rangle_y) \quad |-\rangle = -\frac{i}{\sqrt{2}}(|+\rangle_y - |-\rangle_y) \quad (212)$ · **Spinore di Pauli** Considerando gli spazi di posizione e di spin assieme, ovvero $\mathcal{H}=\mathcal{H}_{\vec{x}}\ \otimes\ \mathcal{H}_{\vec{s}}$ lo stato della particella di spin 1/2 è descritto dallo spinore di Pauli:

$$|\psi\rangle = \begin{pmatrix} \psi_{+}(\vec{x}) \\ \psi_{-}(\vec{x}) \end{pmatrix} = [\psi](\vec{x}) = \psi_{+}(\vec{x}) \begin{pmatrix} 1 \\ 0 \end{pmatrix} + \psi_{-}(\vec{x}) \begin{pmatrix} 0 \\ 1 \end{pmatrix}$$
(213)

$$\psi_{+}(\vec{x}) = \langle \vec{x}, + | \psi \rangle \quad \psi_{-}(\vec{x}) = \langle \vec{x}, - | \psi \rangle \tag{214}$$

$$\|\psi\|^2 = \int dx^3 \left(|\psi_+(\vec{x})|^2 + |\psi_-(\vec{x})|^2 \right)$$
 (215)

$$(\vec{X}[\psi])(\vec{x}) = \begin{pmatrix} \vec{x}\psi_{+}(\vec{x}) \\ \vec{x}\psi_{-}(\vec{x}) \end{pmatrix} \quad (\vec{P}[\psi])(\vec{x}) = -i\hbar \begin{pmatrix} \vec{\nabla}\psi_{+}(\vec{x}) \\ \vec{\nabla}\psi_{-}(\vec{x}) \end{pmatrix}$$
(216)

$$(\vec{S}[\psi])(\vec{x}) = \frac{\hbar}{2} \vec{\sigma} \begin{pmatrix} \psi_{+}(\vec{x}) \\ \psi_{-}(\vec{x}) \end{pmatrix}$$
(216)

$$(S[\psi])(x) = \frac{1}{2}\sigma\left(\psi_{-}(\vec{x})\right)$$
Composizione dei momenti angolari

Generalità
$$J = J^{(1)} \otimes I + I \otimes J^{(2)}$$

$$J = J^{(1)} \otimes I + I \otimes J^{(2)} \tag{218}$$
which has the positive leader one print $I^{(1)} = I$ and

dove ad esempio per una particella con spin $J^{(1)} = L$ e $J^{(2)} = S$, mentre per due particelle senza spin $J^{(1)} = L^{(1)}$ e $J^{(2)} = L^{(2)}$. Possiamo diagonalizzare simultaneamente $\{J^{2}\ ^{(1)},J^{(1)}_z,J^{2}\ ^{(2)},J^{(2)}_z\}$ oppure $\{J^{2}\ ^{(1)},J^{2}\ ^{(2)},J^{2},J_z\}$ per cui si può scrivere

$$|j1, j2, j, m\rangle \equiv |j, m\rangle = \sum_{m1, m2} |m1, m2\rangle \langle m1, m2|j, m\rangle$$

dove $\langle m1, m2|j, m\rangle$ vengono detti coefficienti di Clebsch Gordan. Si noti inoltre, che siccome essi possono essere scelti

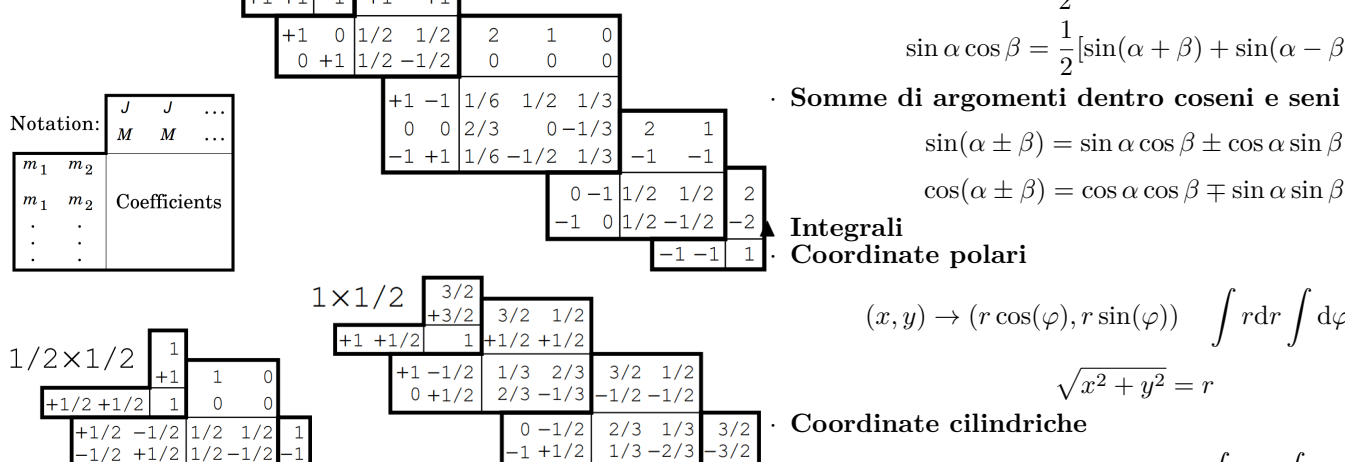
$$\left|j1,j2,m1,m2\right\rangle \equiv \left|m1,m2\right\rangle = \sum_{j,m} \left|j,m\right\rangle \left\langle m1,m2\right|j,m\right\rangle$$

$$j \in \{j_1 + j_2, j_1 + j_2 - 1, \dots, |j_1 - j_2|\}$$
 (221)
$$J_z |j, m\rangle = \hbar m |j, m\rangle \qquad J_z |m1, m2\rangle = (m1 + m2)\hbar |m1, m2\rangle$$

Relazioni di commutazione

Coefficienti di Clebsch-Gordan Ogni coefficiente, ad esempio -3/2, va letto come se ci fosse una radice. In questo caso quindi $-\sqrt{3/2}$. I numeri in alto, ad esempio 1×1 , indicano nell'ordine i valori di j_1 e j_2

 $[J^2, J^{(1)}] = 0$ $[J^2, J^{(2)}] = 0$ $[J^2, J_i^{(1,2)}] \neq 0$ (223)



■ Particelle identiche I bosoni hanno spin intero, ovvero $s \in \mathbb{Z}$ mentre i fermioni semi intero, ovvero $s \in \frac{1}{2} + \mathbb{Z}$. Sotto lo scambio di etichette la funzione d'onda complessiva dei bosoni deve essere simmetrica, quella dei fermioni antisimmetrica (ovvero deve acquistare un segno - nel caso di

 \blacktriangle Due particelle identiche di spin $\frac{1}{2}$ Considerato lo spazio di Hilbert

$$\mathcal{H}^{\otimes 2} = \mathcal{H}_{\vec{X}_1, \vec{X}_2} \otimes \mathcal{H}_{\vec{S}_1, \vec{S}_2} \tag{224}$$

diagonalizzare simultaneamente possono $\{\vec{X}_1,\vec{X}_2,S_{1,z},S_{2,z}\} \ \text{oppure} \ \{\vec{X}_1,\vec{X}_2,S^2,S_z\}. \quad \text{Espanden-}$ do quest'ultima base data da $\{|s,m\rangle\}$ nella base della prima, data da $\{|m1, m2\rangle\}$, tramite i coefficienti di Clebsch-Gordan,

$$|1,1\rangle = |+,+\rangle \quad |1,0\rangle = \frac{1}{\sqrt{2}} \left(|+-\rangle + |-+\rangle \right) \quad |1,-1\rangle = |--\rangle$$

$$(225)$$

che vengono detti stati di tripletto e sono simmetrici

$$|s = 0, m = 0\rangle = \frac{1}{\sqrt{2}}(|+-\rangle - |-+\rangle)$$
 (226)

che viene detto stato di singoletto ed è asimmetrico. Per quanto detto sopra allora le parti di posizione per tali particelle dovranno essere antisimmetriche nel caso degli stati di tripletto e simmetriche nel caso del singoletto.

■ Atomo di Idrogeno $\{H, L^2, L_z\}$ è un ICOC ▲ Hamiltoniana separata in due parti

$$H = H_{CM} + H_r \quad M = m_a + m_b$$
 (227)

$$\vec{X}_{CM} = \frac{m_a}{M} \vec{X}_a + \frac{m_b}{M} \vec{X}_b \quad \vec{P}_{CM} = \vec{P}_a + \vec{P}_b$$
 (228)

$$\vec{X}_r = \vec{X}_a - \vec{X}_b \quad \vec{P}_r = \frac{m_b}{M} \vec{P}_a - \frac{\vec{m}_a}{M} \vec{P}_b$$
 (229)

$$H_r = \frac{\vec{P}_r^2}{2\mu} - \frac{e^2}{r} \qquad \mu = \frac{m_e m_p}{M} \tag{230}$$

▲ Autofunzioni e autovalori per stati legati Le autofunzioni sono del tipo della (163). Gli autovalori E_n , con n=1 stato fondamentale, hanno degenerazione n^2 . In particolare per ogni livello n si hanno autofunzioni per tutti i valori di l e m che rispettano tali condizioni:

$$0 \le l \le n - 1 \qquad -l \le m \le l \tag{231}$$

Gli autovalori hanno energia pari a

$$E_n = -\frac{E_1}{n^2} \tag{232}$$

■ Teoria delle perturbazioni Hamiltoniana perturbata

· Primo e secondo ordine

Per trovarne gli elementi si usa

$$H = H_0 + \lambda V = H_0 + W \tag{233}$$
 · Equazioni agli autovalori

 $H_0|E_n^0\rangle = E_n^0|E_n^0\rangle, \quad H|E_n\rangle = E_n|E_n\rangle$ ▲ Risoluzione nei casi senza degenerazione

$$E_n^{\lambda} = E_n^0 + \lambda E_n^1 + \lambda^2 E_n^2 + \dots$$
 (235)

$$\left|E_{n}^{\lambda}\right\rangle = \left|E_{n}^{0}\right\rangle + \lambda \left|E_{n}^{1}\right\rangle + \lambda^{2} \left|E_{n}^{2}\right\rangle + \dots \tag{236}$$

$$E_n^1 = \langle E_n^0 | V | E_n^0 \rangle \qquad E_n^2 = \sum_{m \neq n} \frac{|\langle E_n^0 | V | E_m^0 \rangle|^2}{E_n^0 - E_m^0} \qquad (237)$$

$$\left|E_{n}^{1}\right\rangle = \sum_{m \neq n} \left|E_{m}^{0}\right\rangle \frac{\left\langle E_{m}^{0} |V| E_{n}^{0}\right\rangle}{E_{n}^{0} - E_{m}^{0}} \tag{238}$$
 A Risoluzione nei casi con degenerazione Si costruisce la

$$\langle \psi_r | V | \psi_s \rangle$$
 (239)
dove $|\psi_r\rangle$ e $|\psi_s\rangle$ sono autovettori degeneri relativi allo stesso

autovalore. Diagonalizzando V si trovano le correzioni $E_{n,1}^k$ relative agli sviluppi $E^k = E_{n,0}^k + \lambda E_{n,1}^k + \dots$

Gli autovettori della matrice V sono invece gli autovettori

matrice V con dimensione pari al valore della degenerazione.

$$[\hbar] = [E] [T] \qquad [\omega] = [T]^{-1} \qquad (24)$$
In 3D $[|\psi|] = [L]^{-3/2}$, In 1D $[|\psi|] = [L]^{-1/2}$ (24)

$$= [L]^{-3/2}, \quad \text{In 1D } [|\psi|] = [L]^{-1/2} \quad (242)$$

$$\text{In 2D } [|\psi|] = [L]^{-1} \quad (243)$$

$$\left[\begin{array}{c} \vec{E} \end{array} \right] = \frac{\left[\begin{array}{c} E \end{array} \right]}{\left[\begin{array}{c} L \end{array} \right] \left[\begin{array}{c} Q \end{array} \right]} \qquad \left[\begin{array}{c} \vec{B} \end{array} \right] = \frac{\left[\begin{array}{c} E \end{array} \right] \left[\begin{array}{c} T \end{array} \right]}{\left[\begin{array}{c} Q \end{array} \right] \left[\begin{array}{c} L \end{array} \right]^2} \qquad (244)$$

■ Matematica utile ▲ Identità trigonometriche

$$\cos \alpha = \frac{e^{i\alpha} + e^{-i\alpha}}{2}, \quad \sin \alpha = \frac{e^{i\alpha} - e^{-i\alpha}}{2i}$$
 (245)

$$\cosh(\alpha) = \frac{e^{\alpha} + e^{-\alpha}}{2} \qquad \sinh(\alpha) = \frac{e^{\alpha} - e^{-\alpha}}{2} \qquad (246)$$

· Formule di duplicazione

$$\sin(2\alpha) = 2\sin\alpha\cos\alpha \quad \tan(2\alpha) = \frac{2\tan\alpha}{1 - \tan^2\alpha} \quad (247)$$

$$\cos(2\alpha) = \cos^2 \alpha - \sin^2 \alpha = 1 - 2\sin^2 \alpha = 2\cos^2 \alpha - 1$$

$$\sin^2 \alpha = \frac{1 - \cos(2\alpha)}{2}, \quad \cos^2 \alpha = \frac{1 + \cos(2\alpha)}{2} \tag{249}$$

· Formule di bisezione

$$\cos\frac{\alpha}{2} = \pm\sqrt{\frac{1+\cos\alpha}{2}}, \quad \sin\frac{\alpha}{2} = \pm\sqrt{\frac{1-\cos\alpha}{2}}$$
 (250)

$$\tan\frac{\alpha}{2} = \pm\sqrt{\frac{1-\cos\alpha}{1+\cos\alpha}} = \frac{1-\cos\alpha}{\sin\alpha} = \frac{\sin\alpha}{1+\cos\alpha}$$
 (251)
• Formule parametriche Sia $t = \tan\frac{\alpha}{2}$ con $\alpha \neq (2k+1)\pi$,

$$\sin \alpha = \frac{2t}{1+t^2}, \quad \cos \alpha = \frac{1-t^2}{1+t^2}$$
 (252)

· Formule di prostaferes $\sin \alpha + \sin \beta = 2 \sin \left(\frac{\alpha + \beta}{2}\right) \cos \left(\frac{\alpha - \beta}{2}\right)$

$$\sin \alpha - \sin \beta = 2 \cos \left(\frac{\alpha + \beta}{2}\right) \sin \left(\frac{\alpha - \beta}{2}\right)$$
 (254)

 $\cos \alpha - \cos \beta = -2 \sin \left(\frac{\alpha - \beta}{2} \right) \sin \left(\frac{\alpha + \beta}{2} \right)$ (256)

 $\cos \alpha + \cos \beta = 2 \cos \left(\frac{\alpha - \beta}{2}\right) \cos \left(\frac{\alpha + \beta}{2}\right)$

· Formule di Werner

$$\sin \alpha \sin \beta = \frac{1}{2} [\cos(\alpha - \beta) - \cos(\alpha + \beta)]$$
 (257)

$$\cos \alpha \cos \beta = \frac{1}{2} [\cos(\alpha + \beta) + \cos(\alpha - \beta)]$$
 (258)

$$\sin \alpha \cos \beta = \frac{1}{2} [\sin(\alpha + \beta) + \sin(\alpha - \beta)]$$
 (259)

 $\sin(\alpha \pm \beta) = \sin \alpha \cos \beta \pm \cos \alpha \sin \beta$ (261) $\cos(\alpha \pm \beta) = \cos \alpha \cos \beta \mp \sin \alpha \sin \beta$

 $(x,y) \to (r\cos(\varphi), r\sin(\varphi)) \int r dr \int d\varphi$

Coordinate cilindriche

Integrali

Coordinate polari

$$(x, y, z) \to (r\cos(\varphi), r\sin(\varphi), z) \quad \int r dr \int d\varphi \int dz \quad (264)$$

 $\sqrt{x^2 + y^2 + z^2} = r$ (266)

$$\int r^2 dr \int d\varphi \int \sin(\theta) d\theta \quad \varphi \in (0, 2\pi) \quad \theta \in (0, \pi) \quad (267)$$

$$\int V dV \int d\varphi \int \sin(V) dV = \varphi \in (0,2\pi) \quad V \in (0,\pi)$$
· Alcuni integrali notevoli

 $\int_{-\infty}^{+\infty} \delta(x) \, dx = 1 \qquad \int_{-\infty}^{+\infty} f(x) \delta(x - x_0) \, dx = f(x_0)$

 $(x, y, z) \to (r\cos(\varphi)\sin(\theta), r\sin(\varphi)\sin(\theta), r\cos(\theta))$

$$\int_{-\infty}^{+\infty} f(x)\delta(g(x)) dx = \sum_{i} \frac{f(x_i)}{|g'(x_i)|},$$
 (269)

$$\int \sin^2 x \, dx = \frac{1}{2} (x - \sin x \cos x)$$
 (270)
$$\int \cos^2 x \, dx = \frac{1}{2} (x + \sin x \cos x)$$
 (271)

$$\int \sin x \cos x \, dx = -\frac{1}{2} \cos^2 x \qquad \int \cos^3 x \, dx = \sin x - \frac{\sin^3 x}{3}$$

(271)

(284)

(294)

(302)

(305)

(306)

$$\int \sin^3 x \, dx = -\cos x + \frac{\cos^3 x}{3} \tag{272}$$

$$\int \sin^2 x \cos x \, dx = \frac{1}{3} \sin^3 x \qquad \int \sin x \cos^2 x \, dx = -\frac{1}{3} \cos^3 x$$

$$\int \sin^4 x \, dx = \frac{3}{8}x - \frac{1}{4}\sin(2x) + \frac{1}{32}\sin(4x) \tag{2}$$

$$\int \cos^4 x \, dx = \frac{3}{8}x + \frac{1}{4}\sin(2x) + \frac{1}{32}\sin(4x) \tag{276}$$

$$\int \sin^5 x \, dx = -\cos x + \frac{2}{3} \cos^3 x - \frac{1}{5} \cos^5 x \qquad (27)$$

$$\int \cos^5 x \, dx = \sin x - \frac{2}{3} \sin^3 x + \frac{1}{5} \sin^5 x \qquad (27)$$

$$\int xe^{-x^2} dx = -\frac{1}{2}e^{-x^2} \qquad \int_0^\infty x^2 e^{-x^2} dx = \frac{1}{4}\sqrt{\pi} \quad (279)$$

$$\int_{-\infty}^{+\infty} e^{-\alpha x^2}, dx = \sqrt{\frac{\pi}{\alpha}} \qquad \int_{-\infty}^{+\infty} x^2 e^{-\alpha x^2} dx = \sqrt{\frac{\pi}{2\alpha^3}}$$

$$\int_{-\infty}^{+\infty} e^{-\alpha x^2 + \beta x} dx = \sqrt{\frac{\pi}{\alpha}} e^{\frac{\beta^2}{4\alpha}} \int_{0}^{2\pi} e^{i\alpha\varphi} d\varphi = 0 \ \forall \alpha \in \mathbb{Z} \setminus \{0\}$$
(281)

$$z = a + ib = r(\cos(\theta) + i\sin(\theta)) = re^{i\theta}$$
 $\overline{z} = z^* = a - ib$ (282)

$$r = |z| = \sqrt{a^2 + b^2}$$

$$\langle \mathbf{u} | \mathbf{v} \rangle = \sum_{j=1}^{n} u_j^* v_j \quad |||\mathbf{u}\rangle|| = \sqrt{\langle \mathbf{u} | \mathbf{u}\rangle} = \sqrt{\sum_{j=1}^{n} |u_j|^2} \quad (28)$$

$$\nabla f(x, y, z) = \frac{\partial f}{\partial x} \mathbf{x} + \frac{\partial f}{\partial y} \mathbf{y} + \frac{\partial f}{\partial z} \mathbf{z}$$
(28)
$$\nabla f(r, \theta, \varphi) = \hat{\mathbf{r}} \frac{\partial f}{\partial r} + \hat{\boldsymbol{\theta}} \frac{1}{r} \frac{\partial f}{\partial \theta} + \hat{\boldsymbol{\varphi}} \frac{1}{r \sin \theta} \frac{\partial f}{\partial \varphi}$$
(28)

$$\nabla^{2} f(x, y, z) = \frac{\partial^{2} f}{\partial x^{2}} + \frac{\partial^{2} f}{\partial y^{2}} + \frac{\partial^{2} f}{\partial z^{2}}$$
(289)

$$e^A = \sum_{n=1}^{\infty} \frac{A^n}{n!} = Ue^{A_d}U^{\dagger} \tag{292}$$

Dove A_d è la matrice A diagonalizzata e U è la matrice che ha come colonne gli autovettori normalizzati di A, nell'ordine

paiono gli autovalori in
$$A_d$$

$$\det(A) = \sum_{i=1}^{n} a_{ik} (-1)^{i+k} M_{i+k}$$
(293)

 $A^2 = \mathbb{I} \implies \sigma(A) = \pm 1$

$$\sum_{i=0}^{N} q^{i} = \frac{1 - q^{N+1}}{1 - q} \tag{295}$$

 $\sum_{i=0}^{\infty} q^{i} = \frac{1}{1-q}$

mula generale e formule principali
$$f(x) = f(a) + \frac{f^{(n)}(a)}{a!} (x - a)^n + \cdots$$
 (297)

$$\sin x = x - \frac{x^3}{3!} + \frac{x^5}{5!} + o(x^5) \quad \cos x = 1 - \frac{x^2}{2!} + \frac{x^4}{4!} + o(x^4)$$
(298)

$$e^{x} = 1 + x + \frac{x^{2}}{2!} + \frac{x^{3}}{3!} + \dots + \frac{x^{n}}{n!} + \dots$$
 (300)

La soluzione è:

(255)

(260)

(263)

$$y(t) = e^{-A(t)} \left[c + \int b(t)e^{A(t)}dt \right]$$

 $\ddot{y} + a\dot{y} + by = 0, \quad a, b \in \mathbb{R}$

• Se
$$\Delta > 0$$
:
$$y(t) = c_1 e^{\lambda_1 t} + c_2 e^{\lambda_2 t} \tag{}$$

· Se
$$\Delta=0$$
:
$$y(t)=c_1e^{\lambda_1t}+tc_2e^{\lambda_1t}$$
 · Se $\Delta<0$:

$$\begin{array}{c} \operatorname{con}\,\alpha=\operatorname{Re}(\lambda),\,\beta=\operatorname{Im}(\lambda).\\ \blacktriangle \ \operatorname{\textbf{Proprietà}}\ \operatorname{\textbf{del}}\ \operatorname{\textbf{commutatore}} \end{array}$$

$$[A, B] = -[B, A]$$
 $[A + B, C] = [A, C] + [B, C]$

$$[AB, C] = A[B, C] + [A, C]B$$
 (31)

(303)

$$J_{-\infty}$$
 V^{α} J_0

A Numeri complessi

 $\alpha^*\beta + \alpha\beta^* = z + z^* = 2\operatorname{Re}(z) = 2\operatorname{Re}(\alpha^*\beta)$

 $z^{n} = r^{n} \left[\cos(n\theta) + i \sin(n\theta) \right]$ (285)▲ Vettori complessi

▲ Gradiente e laplaciano
$$\nabla f(x,y,z) = \frac{\partial f}{\partial x} \hat{\mathbf{x}} + \frac{\partial f}{\partial y} \hat{\mathbf{y}} + \frac{\partial f}{\partial z} \hat{\mathbf{z}}$$
 (2)

$$\nabla^2 f(r, \theta, \varphi) = \frac{1}{r^2} \frac{\partial}{\partial r} \left(r^2 \frac{\partial f}{\partial r} \right) + \frac{1}{r^2 \sin \theta} \frac{\partial}{\partial \theta} \left(\sin \theta \frac{\partial f}{\partial \theta} \right) +$$

 $+ \frac{1}{r^2 \sin^2 \theta} \frac{\partial^2 f}{\partial \varphi^2}$ ▲ Matrici

Dove
$$A_d$$
 è la matrice A diagonalizzata e U è la matrice ch
ha come colonne gli autovettori normalizzati di A, nell'ordin
in cui compaiono gli autovalori in A_d

▲ Serie geometrica

La serie converge per
$$|q| < 1$$
 e in tal caso:
$$\sum_{i=0}^{\infty} q^{i} = \frac{1}{1-1}$$
 (296)

▲ Sviluppi in serie

• Formula generale e formule principali

$$f^{(n)}(a)$$

▲ Equazioni differenziali (ODE)
· Forma generale del primo ordine

$$\dot{y}(t) + a(t)y(t) = b(t) \tag{301}$$

dove A(t) è una primitiva di a(t). Forma generale del secondo ordine (omogenea)

Le soluzioni dell'equazione associata dipendono da
$$\Delta$$
:
 \cdot Se $\Delta>0$:
 $y(t)=c_1e^{\lambda_1t}+c_2e^{\lambda_2t}$

Se
$$\Delta < 0$$
:
$$y(t) = c_1 e^{\alpha t} \cos(\beta t) + c_2 e^{\alpha t} \sin(\beta t)$$

$$[A, A]$$
 $[A + B, C] = [A, C] + [B, C]$ (307)
 $[A, B + C] = [A, B] + [A, C]$ (308)

[A, BC] = [A, B]C + B[A, C](309)(310)